

УДК 539.184.01

**РАДИАЦИОННЫЕ ДВУХЭЛЕКТРОННЫЕ ОДНОФОТОННЫЕ ПЕРЕХОДЫ  
ТИПА  $n_1 l_1 n_2 l_2 \rightarrow 1s^2$**

П. Г. Бодашко и У. И. Сафронова

Проведен расчет дипольного матричного элемента перехода  $n_1 l_1 n_2 l_2 \rightarrow 1s^2$  для  $n_1 > l_1 + 1$ ,  $n_2 > l_2 + 1$  до  $n_1, n_2 = 10$  ( $l_1, l_2 = s, p, d, f, g$ ). Обсуждена зависимость от  $n_1, n_2, l_1, l_2$  вероятности перехода  $W$  и фактора Фано  $q$ . На примере двухэлектронных систем обсужден вклад электростатического взаимодействия электронов и релятивистских эффектов на величины  $W$  и  $q$ . Проведено изучение  $Z$ -зависимости  $W$  и  $q$  на примере состояний  $2l3l'$ .

Радиационные двухэлектронные однофотонные переходы начали изучаться совсем недавно, но к настоящему времени имеется уже достаточно большое количество работ. В основном при этом изучались переходы с  $n_1, n_2 = 2, 3$  [1-6]. В настоящей работе мы рассмотрим переходы с  $n_1 = (l_1 + 1) \div 10$ ,  $n_2 = (l_2 + 1) \div 10$  и выясним асимптотические зависимости параметров Фано  $q$  и вероятности переходов. Как и в работах [1, 6], нами будет использована кулоновская функция Грина.

Дипольный матричный элемент

Для дипольного матричного элемента перехода  $n_1 l_1 n_2 l_2 ^1P \rightarrow 1s^2 ^1S$  имеем в общем случае

$$\begin{aligned} Z^2 \langle n_1 l_1 n_2 l_2 ^1P | \hat{r} | 1s^2 ^1S \rangle = & \sqrt{2} \begin{pmatrix} l_1 & l_2 & 1 \\ 0 & 0 & 0 \end{pmatrix} \frac{1}{\sqrt{(2l_1 + 1)(2l_2 + 1)}} \times \\ & \times \left\{ \frac{1}{2l_2 + 1} \sum_n \frac{1}{E_n + E_{n_2} - 2E_1} R_{l_2}(nl_2 n_2 l_2; 1010) R(nl_2, n_1 l_1) + \right. \\ & + \frac{1}{2l_1 + 1} \sum_n \frac{1}{E_n + E_{n_1} - 2E_1} R_{l_1}(nl_1 n_1 l_1; 1010) R(nl_1, n_2 l_2) + \\ & + \frac{1}{2l_2 + 1} \sum_n \frac{1}{E_n + E_1 - E_{n_2} - E_{n_1} - i\gamma} R_{l_2}(n110; n_2 l_2 n_1 l_1) R(n1, 10) + \\ & \left. + \frac{1}{2l_1 + 1} \sum_n \frac{1}{E_n + E_1 - E_{n_2} - E_{n_1} - i\gamma} R_{l_1}(n110; n_1 l_1 n_2 l_2) R(n1, 10) \right\}, \quad (1) \end{aligned}$$

где суммирование включает как сумму по дискретным параметрам, так и интеграл по непрерывным параметрам  $k$ . Два последних слагаемых в (1) являются комплексными, так как знаменатели в (1) при непрерывных значениях  $n$  имеют вид

$$\frac{k^2}{2} - \frac{1}{2} + \frac{1}{2n_1^2} + \frac{1}{2n_2^2} - i\gamma = \frac{1}{z - i\gamma}. \quad (2)$$

Параметры  $n_1, n_2$  не равны 1 по определению, а следовательно, интеграл по  $k$  в (1) можно вычислять только в смысле главного значения, а дельта функция дает мнимую добавку. Таким образом, матричный элемент в (1) можем представить в следующем виде:

$$\langle n_1 l_1 n_2 l_2 | 1^1P | \hat{r} | 1s^2 ^1S \rangle = a(n_1 l_1 n_2 l_2 + 1) + ib(n_1 l_1 n_2 l_2 + 1), \quad (3)$$

где мы для определенности<sup>1</sup> положили  $l_1 = l$ ,  $l_2 = l + 1$ . Как было показано в [1], для параметра Фано  $q$  имеем, учитывая (3),

$$q(n_1l, n_2l + 1) = \frac{a(n_1l, n_2l + 1)}{b(n_1l, n_2l + 1)}. \quad (4)$$

Далее для расчета вероятности перехода следует рассчитать квадрат модуля  $\langle n_1ln_2l+1^1P | \hat{r} | 1s^2 1S \rangle$

$$|\langle n_1ln_2l+1^1P | \hat{r} | 1s^2 1S \rangle|^2 = S(n_1l, n_2l + 1) = a^2(n_1l, n_2l + 1) + b^2(n_1l, n_2l + 1). \quad (4')$$

Именно эти характеристики  $q$  и  $S$  мы и обсудим ниже. На рис. 1, а, б приведены графики  $q(n_1l, n_2l + 1)$  для  $l = s, p, d, f, g$  как функции  $n_1, n_2$ . По оси абсцисс

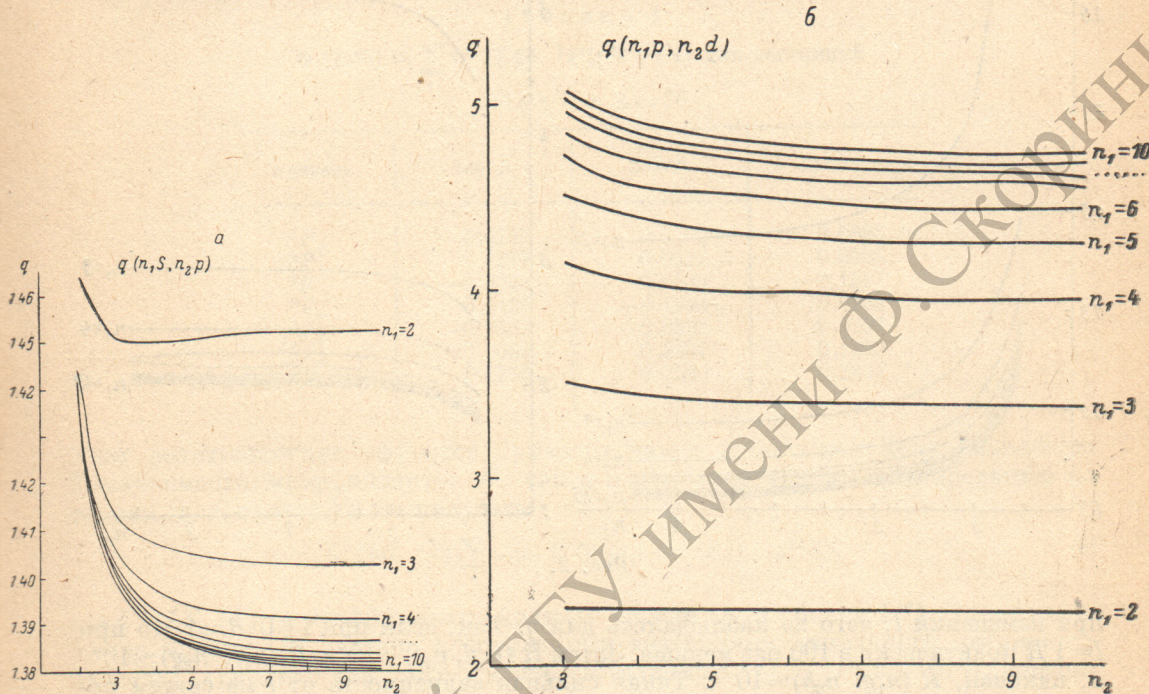


Рис. 1.

отложено значение  $n_2$ , по оси ординат — абсолютное значение  $q$ .<sup>2</sup> На каждом графике приведены все  $q$  при  $n_1 = (l+1) \div 10$ .

Как видно из рис. 1, наиболее сильно отличается  $q$  при минимальном значении  $n_1$ , т. е. при  $n_1 = l + 1$ . Затем при увеличении  $n_1$  кривые все меньше отличаются друг от друга и при  $n_1 = 9, 10$  практически сливаются. Несколько меньше это относится к двум последним  $q$  при  $l = f, l = g$ . Для этих  $l$  также сгущение, по-видимому, наступит при больших значениях  $n_1$ . Следует во всех случаях отметить, что весь интервал изменения  $q$  не очень значителен, т. е.  $\sim 10\text{--}20\%$ , за исключением  $q(n_1p, n_2d)$ . Для этого  $q$  зависимость от  $n_1$  значительно сильнее, так как  $q$  меняется в два раза, в то время как зависимость от  $n_2$  очень незначительная ( $0.7\text{--}7\%$ ).

Таким образом, для  $q(n_1l, n_2l + 1)$  мы не имеем явно выделенных функций от  $n_1n_2$  и для грубых оценок можем считать постоянной и зависящей только от  $l$ .

Перейдем к обсуждению  $S(n_1l, n_2l + 1)$ . Здесь мы имеем совершенно другую картину. Из формулы (1) легко сразу выделить простые зависимости от  $n_1, n_2$ , вводя следующую функцию:

$$R(n_1l, n_2l + 1) = n_1^3 n_2^3 S(n_1l, n_2l + 1). \quad (5)$$

Графики  $R$  приведены на рис. 2, а, б. Как и для  $q$ , мы отложили по оси ординат  $R$ , по оси абсцисс  $n_2$  и привели графики на рис. 2 для каждого фиксирован-

<sup>1</sup>  $l_1 = l_2 \pm 1$ .

<sup>2</sup> Отрицательными являются все  $q$ , кроме  $q(n_1d, n_2f)$ .

ногого значения  $n_1$  (начиная с  $n_1=l+1$ ) до  $n_1=10$ . По своему поведению рис. 2 очень похож на рис. 1 — такое же отличие первого  $R$  при  $n_1=l+1$  и постепенное сгущение кривых при увеличении  $n_1$ . Лишь для последнего  $R$  мы не наблюдаем еще этого сгущения, так как для этого нужны  $R$  при  $n_1 > 10$ . Весь интервал изменения  $R$  не превышает 1—10 раз, т. е. зависимость от  $n_1$  и  $n_2$  практически описывается формулой (5). Основное отличие  $R$  от  $q$  — это сильное изменение  $R$

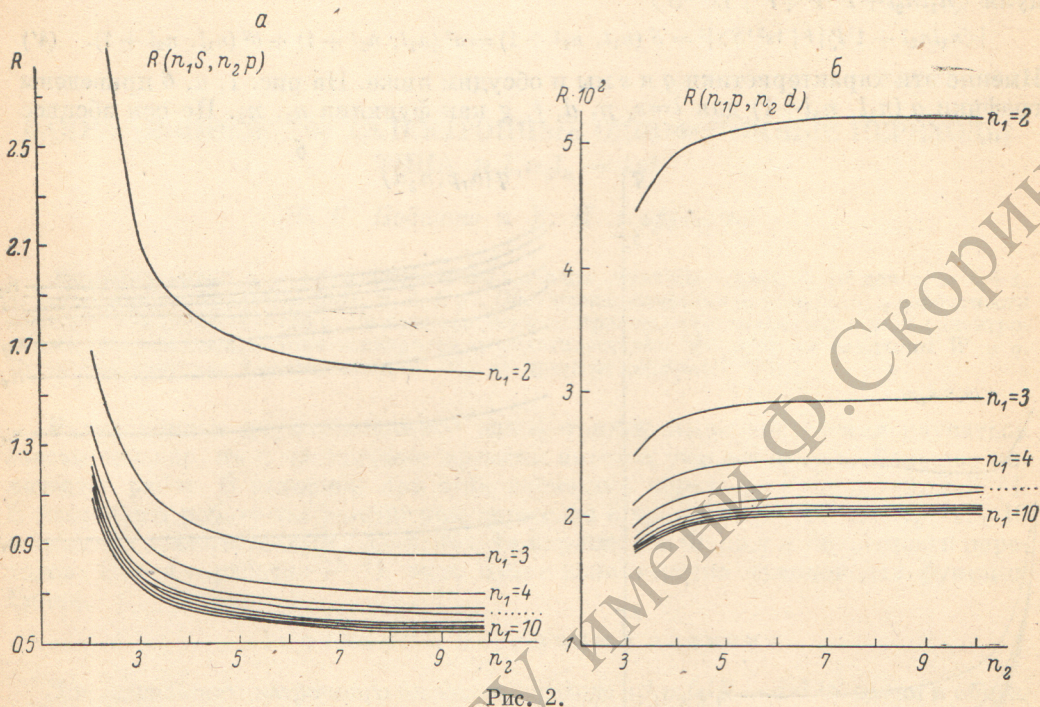


Рис. 2.

при изменении  $l$ , чего не наблюдалось для  $q$ . Так, если при  $l=0$   $R \approx 1$ , то при  $l=1$   $R$  практически в 100 раз меньше. Затем  $R(n_1d, n_2f)=10^{-4}$ ,  $R(n_1f, n_2g) \approx 10^{-7}$  и, наконец,  $R(n_1g, n_2h)=10^{-9}$ . Такая сильная зависимость от  $l$  не совсем понятна и не вытекает явно из формулы (1). Приведенные графики дают возможность получить  $R$  и затем рассчитать  $S$  по формуле (5). Таким образом, мы рассмотрели  $q$  и  $S$  в широком интервале  $l, n_1n_2$ . Представленные на рисунках зависимости дают возможность выяснить как поведение и изменение этих величин от  $n_1, n_2, l$ , так и получить численные значения.<sup>3</sup>

#### Вероятности переходов и факторы Фано для двухэлектронных систем

В предыдущем разделе мы рассмотрели дипольный матричный элемент конкретного перехода  $n_1l n_2l + 1^1P - 1s^2 1S$ . В общем случае в дальнейшем следует рассмотреть два эффекта, которые влияют на величину дипольного матричного элемента: электростатическое взаимодействие электронов и релятивистские эффекты. Учет электростатического взаимодействия электронов приводит к тому, что состояния с разными  $l$ , но совпадающими  $n_1, n_2$  перемешиваются, т. е. следует рассматривать дипольный матричный элемент в виде

$$\sum_l C(i, l) \langle n_1l n_2l + 1^1P | r | 1s^2 1S \rangle, \quad (6)$$

где  $C(i, l)$  — коэффициент перемешивания. Индекс  $i$  в (6) мы оставили просто для нумерации состояний, так как орбитальное число уже не имеет смысла. Например, для состояния  $2s3p^1P, 2p3s^1P, 2p3d^1P$  имеем

<sup>3</sup> Мы не приводим численных значений, чтобы не загромождать работу табличными данными.

$$\left. \begin{aligned} \Psi_1 &= 0.62572\Psi(2s3p) + 0.70966\Psi(2p3s) + 0.32381\Psi(2p3d), \\ \Psi_2 &= -0.68489\Psi(2s3p) + 0.69851\Psi(2p3s) - 0.20739\Psi(2p3d), \\ \Psi_3 &= -0.37336\Psi(2s3p) - 0.09200\Psi(2p3s) + 0.92311\Psi(2p3d). \end{aligned} \right\} \quad (7)$$

Таким образом, состояния  $2s3p$  и  $2p3s$  сильно перемешаны, что имеет смысл говорить лишь о состояниях  $\Psi_-$  и  $\Psi_+$  вместо  $\Psi_1$  и  $\Psi_2$  в (7). Для функции  $\Psi_3$  существенным является вклад состояния  $2p3d$ . Следует при этом заметить, что коэффициенты в (7) были рассчитаны с учетом матрицы первого порядка по энергии, а следовательно, не зависят от  $Z$ . Учет второго и более высоких порядков теории возмущений по  $1/Z$  приводит к зависимости от  $Z$  коэффициентов  $C$ .

Таблица 1

$$\Psi(LSi) = \sum_l C^1(LSi, {}^1Pl) \Psi({}^1Pl) \text{ для состояний } 2l3(l \pm 1) \text{ с } Z = 20$$

Уровень	$2s3p {}^1P$	$2p3s {}^1P$	$2p3d {}^1P$
${}^1P_+$	0.6255	0.6799	0.0886
${}^3P_+$	0.1277	0.0532	0.0605
${}^1P_-$	-0.6243	0.6503	-0.1597
${}^3P_-$	0.3497	-0.1934	0.0934
${}^1P_d$	-0.2501	-0.0243	0.9257
${}^3P_d$	0.0098	0.0407	0.1370
${}^3D$	0.1376	0.2689	0.2802

Учет релятивистских эффектов приводит как к дополнительному изменению  $Z$ -зависимости коэффициентов  $C$ , так и к дополнительному суммированию по термам, т. е. вместо (6) мы получаем

$$C^1(LS, {}^1P) \sum_l C(i, l) \langle n_1 l n_2 l + {}^1P | r | 1s^2 {}^1S \rangle, \quad (8)$$

где  $C^1(LS, {}^1P)$  — коэффициенты примеси уровня  ${}^1P_1$  в уровне  $LS1$ . Такое положение уровня  ${}^1P_1$  связано с ненулевыми значениями дипольного матричного элемента (1) только для этого уровня. Объединяя  $C^1(LS, {}^1P)$  и  $C(i, l)$ , перепишем (7) следующим образом:

$$\sum_l C^1(LSi, {}^1Pl) \langle n_1 l n_2 l + {}^1P | r | 1s^2 {}^1S \rangle. \quad (9)$$

В качестве примера в табл. 1 приведены коэффициенты для семи уровней состояний 2, 3. Таким образом, мы имеем уже семь ненулевых значений для дипольного матричного элемента. Также следует отметить  $Z$ - зависимость дипольного матричного элемента, а следовательно, для каждого  $Z$  мы должны получать графики, подобные графикам на рис. 1 и 2. Неизменной остается лишь выделенная зависимость от  $n_1$ ,  $n_2$  (формула (5)).

Для вероятности перехода окончательно имеем

$$\begin{aligned} W(1LSi, 1s^2 {}^1S_0) &= \frac{2}{9} \left| \sum_l C^1(LSi, {}^1Pl) \langle n_1 l n_2 l + {}^1P | r | 1s^2 {}^1S \rangle \right|^2 \times \\ &\times [E(1LSi) - E(1s^2 {}^1S_0)]^3 3.21 \cdot 10^{10} \text{ c}^{-1}. \end{aligned} \quad (10)$$

В качестве примера в табл. 2 приведены вероятности перехода для семи уровней состояний 2, 3. Мы выделили основную  $Z$ - зависимость, т. е. привели величину  $\omega$  для  $= 5, 10, 15, 20, 25$

$$W(1LSi, 1s^2 {}^1S_0) = \left( \frac{Z}{10} \right)^2 \omega(1LSi, 1s^2 {}^1S_0). \quad (11)$$

Во второй графе табл. 2 приведено  $\omega$ , определяемое на основании коэффициентов формулы (7), т. е. при учете электростатического взаимодействия электронов в первом порядке теории возмущений, причем с  $\Delta E = \Delta E_0$ . Следует заметить,

Таблица 2

Вероятности перехода  $W(1LSi - 1s^2 1S_0) = \omega(1LSi - 1s^2 1S_0) \left(\frac{Z}{10}\right)^2 e^{-1}$

$1LSi$	Формула (7)	$Z=5$	$Z=10$	$Z=15$	$Z=20$	$Z=25$
${}^1P_+$	$6.519 + 9$	$4.458 + 9$	$5.445 + 9$	$5.684 + 9$	$5.474 + 9$	$5.806 + 9$
${}^3P_+$	—	$6.749 + 4$	$3.219 + 6$	$2.992 + 7$	$1.177 + 8$	$1.067 + 8$
${}^1P_-$	$3.016 + 7$	$3.424 + 7$	$3.347 + 7$	$3.243 + 7$	$1.462 + 7$	$1.317 + 6$
${}^3P_-$	—	$4.157 + 4$	$1.713 + 6$	$2.063 + 7$	$1.260 + 8$	$5.688 + 8$
${}^1P_d$	$4.028 + 8$	$2.199 + 7$	$2.567 + 7$	$1.766 + 8$	$7.145 + 7$	$1.382 + 7$
${}^3P_d$	—	$1.052 + 4$	$3.972 + 3$	$1.254 + 6$	$1.532 + 7$	$1.066 + 7$
${}^3D$	—	$6.131 + 5$	$1.925 + 7$	$2.271 + 8$	$6.044 + 8$	$8.878 + 7$

что  $\Delta E$  не очень сильно отличается от  $\Delta E_0$ . Так, для  $Z=5$  это отличие составляет  $\sim 13$ , для  $Z=10 - \sim 6$ , для  $Z=25 -$  всего лишь 2%. Таким образом, основная  $Z$ -зависимость  $\omega$  определяется дипольным матричным элементом (8). Как видно из таблицы, уже при  $Z=15$  происходит перераспределение вероятностей за счет включения релятивистских эффектов, а следовательно, при расчете

Таблица 3  
Факторы Фано  $q(1LSi)$  как функции  $Z$

$1LSi$	Формула (7)	$Z=5$	$Z=10$	$Z=15$	$Z=20$	$Z=25$
${}^1P_+$	1.4696	1.4674	1.4671	1.4628	1.4541	1.4512
${}^3P_+$	—	1.4853	1.4866	1.4838	1.4784	1.5075
${}^1P_-$	1.7325	1.6739	1.6900	1.6852	1.7645	0.9224
${}^3P_-$	—	1.4966	1.5058	1.5062	1.5008	1.4800
${}^1P_d$	1.2270	1.2020	1.1968	1.1425	0.9954	0.6052
${}^3P_d$	—	1.0841	-0.5868	1.5128	1.6451	1.6971
${}^3D$	—	1.4965	1.5072	1.5024	1.5077	1.6674

рассматриваемых вероятностей переходов для многозарядных ионов следует по возможности точнее учесть как электростатическое взаимодействие электронов (6), так и релятивистские эффекты (8). В заключение заметим, что вероятность перехода как функция от  $n_1$  и  $n_2$  имеет ту же зависимость, что и квадрат дипольного матричного элемента (5), так как разность энергий переходов с ростом  $n_1$  и  $n_2$  практически стремится к  $E(1s^2 1S_0)$ . В связи с этим при расчете вероятности перехода можно ограничиться не полным учетом всех  $l$ , а всего лишь несколькими членами, так как  $R$ , по определению (рис. 2), быстро падает с ростом  $l$ .

Для фактора Фано  $q$ , согласно (3), (4), (9), имеем

$$q(1LS, i) = \frac{\sum_l C^1(LSi, {}^1Pl) a(n_1 l, n_2 l + 1)}{\sum_l C^1(LSi, {}^1Pl) b(n_1 l, n_2 l + 1)}. \quad (12)$$

Для иллюстрации в табл. 3 приведены факторы Фано для семи уровней 2, 3 состояний. В первой графе даны  $q$ , для которых  $C$  определялось из уравнения (7), т. е. постоянное для всех  $Z$ . Учет  $Z$ -зависимости коэффициентов  $C$  от  $Z$  приводит к  $Z$ -зависимости и для коэффициентов  $q$ . Интересно отметить, что дипольный матричный элемент (9) изменяется довольно сильно с изменением  $Z$ , что видно из табл. 2, но фактор  $q$  при этом может оставаться практически постоянным, например, для  $q({}^3P_+)$ . Довольно сильно меняется  $q({}^3P_d)$ , происходит даже изменение знака. Следует заметить, что  $q$  в отличие от  $R$  (5) мало меняются при изменении  $l$ , а следовательно, при определении  $C^1(LSi, {}^1Pl)$  нужно учесть полностью все члены по  $l$ , а не ограничиваться 2—3 членами, как это можно сделать для  $W$ .

## Вероятности перехода и факторы Фано для дырочных состояний

Рассмотрим состояния с дырками  $(n_1 l_1)^{-1} (n_2 l_2)^{-1}$ . Для дипольного матричного элемента  $\langle (n_1 l_1)^{-1} (n_2 l_2)^{-1} \bar{P} | r | (1s)^{-2} 1S \rangle$  мы можем воспользоваться формулой (1). Это связано с тем, что расчет проводится на водородоподобном базисе, а следовательно, все численные значения сумм и интервалов в (1) остаются неизменными. Для расчета вероятностей и факторов  $q$  воспользуемся формулами (10), (12) предыдущего раздела. Мы не будем здесь приводить численные результаты для  $W$  и  $q$ . Обсудим лишь наиболее существенные черты, отличающие расчет дырочных состояний от расчета частичных состояний.

Основным является, конечно, значительно меньшее перемешивание состояний, чем это имело место для частичных состояний. Это связано в первую очередь с тем, что при расчете матрицы энергии довольно быстро растут диагональные матричные элементы при увеличении числа электронов в рассматриваемой системе. Недиагональные матричные элементы для дырочных состояний  $(n_1 l_1)^{-1} (n_2 l_2)^{-1}$  в первом порядке теории возмущений останутся теми же самыми и для частичных состояний  $n_1 l_1 n_2 l_2$ . Так, например, если частичные состояния  $2s3p$ ,  $2p3s$  — перемещенные практически с коэффициентом  $1/\sqrt{2}$ , то дырочные состояния  $2s^{-1}3p^{-1}$ ,  $2p^{-1}3s^{-1}$  при заполненных оболочках  $n=1, 2, 3$  перемешаны лишь с весом 0.15. В связи с таким незначительным перемешиванием состояний можно для оценки вообще пренебречь коэффициентами  $C$  и воспользоваться прямо значениями  $R$  и  $q$ , приведенными на рис. 1 и 2.

### Литература

- [1] S. V. Khrustenko. Phys. Lett., 59A, 202, 1976.
- [2] H. R. Kelly. Phys. Rev. Lett., 37, 37, 1976.
- [3] М. Я. Амусья, И. С. Ли. ЖЭТФ, 73, 430, 1977.
- [4] У. И. Сафонова, В. С. Сенашенко. Изв. АН СССР, сер. физ., 41, 2610, 1977.
- [5] M. Gavrilă, J. E. Hansen. J. Phys., 11B, 1353, 1978.
- [6] П. Г. Бодашко, С. А. Запрягаев, У. И. Сафонова, В. С. Сенашенко. Опт. и спектр., 51, 18, 1981.

Поступило в Редакцию 15 апреля 1981 г.